

# ЕКСПЕРИМЕНТАЛЬНІ ДОСЛІДЖЕННЯ ТОЧНОСТІ ГЕОМЕТРИЧНОГО НІВЕЛЮВАННЯ СПОСОБОМ “ВПЕРЕД–НАЗАД”

© Перій С.С., 2010

*Приведены результаты сравнительных экспериментальных исследований способов геометрического нивелирования из “средины” и “вперед-назад”. Предлагаемый способ позволяет контролировать положение визирного луча в процессе нивелирования и упрощает процесс выбора плеча нивелирования. Показано, что точность способа “вперед-назад” соответствует точности нивелирования из “средины”.*

*The results of the comparing experimental research of the geometrical leveling from “inside” and “forward-back” leveling methods show that these methods give the possibility to control the position of sighting line during the process of leveling and simplify the choice of leveling shoulder. The experiment shows that the results of “forward-back” leveling method are as accurate as the results of leveling from “inside”.*

**Постановка проблеми.** Сьогодні найточнішим методом визначення перевищень залишається нівелювання горизонтальним променем. Сучасний розвиток науки і техніки, геодезичного приладобудування ставить старі невирішенні проблеми геометричного нівелювання на вищий рівень. З появою цифрових нівелірів похибки відлічування, інструментальні та особисті похибки спостерігачів зводяться до дуже малих або повністю відсутні. Найбільший вплив на точність високоточного геометричного нівелювання мають вертикальна рефракція та нестабільність горизонтальності променя нівелювання.

**Зв'язок із науковими та практичними завданнями.** Прецизійне нівелювання застосовують у багатьох галузях народного господарства для: створення державної висотної геодезичної мережі; забезпечення точного будівництва, монтажу, експлуатації високотехнологічних і унікальних споруд та обладнання; фундаментальних наукових досліджень з визначення рухів земної кори, дрейфу материків, прогнозу землетрусів та інших не менш важливих завдань сьогодення.

**Аналіз останніх досліджень і публікацій, у яких вирішується проблема.** Інструкція [1] накладає жорсткі обмеження на виконання високоточного нівелювання. Це передусім періоди доби атмосферні умови, коли дозволено виконувати вимірювання, довжини та нерівність плечей нівелювання, висота візорного променя над земною поверхнею, а також строгое дотримання методики нівелювання – за двома парами костилів і виконання нівелювання в зворотному напрямі.

Однією з основних вимог геометричного нівелювання [1] для досягнення високої точності визначення перевищень є застосування способу нівелювання “із середини”, який усуває вплив негоризонтальності променя нівелювання (за умови його стабільності) та частково компенсує дію вертикальної рефракції [2; 3].

Перевищення по лінії АВ під час нівелювання із середини (рис. 1) подамо формулою:

$$h_{AB} = a_A - b_B = \dot{a}_A - \dot{b}_B + S_{CA} \operatorname{tg}(i_A) - S_{CB} \operatorname{tg}(i_B) + \frac{S_{CA}^2}{2R_3} - \frac{S_{CB}^2}{2R_3} - \frac{k_{CA} S_{CA}^2}{2R_3} + \frac{k_{CB} S_{CB}^2}{2R_3}, \quad (1)$$

де  $a_A$  і  $b_B$  – правильні відліки в точках  $K_1$  і  $K_2$  за шкалами рейок за умови суміщення променя нівелювання з рівневою поверхнею нівеліра, що встановлений в точці С;  $a'_A$  і  $b'_B$  – відліки за шкалами рейок, встановлених у точках А і В, спотворені кривиною Землі, кутом нахилу променя візуування та вертикальною рефракцією відповідно в точках  $N_1$  і  $N_2$ ;  $S_{CA}$ ,  $S_{CB}$  – горизонтальні віддалі від нівеліра до рейок;  $k_A$ ,  $k_B$  – коефіцієнти вертикальної рефракції за відповідними напрямами А і В,  $i_A$ ,  $i_B$  – кути негоризонтальності візорного променя за відповідними напрямами А і В,  $R_3$  – радіус кривини Землі на території, де здійснюють нівелювання (для наших широт 6384 км).

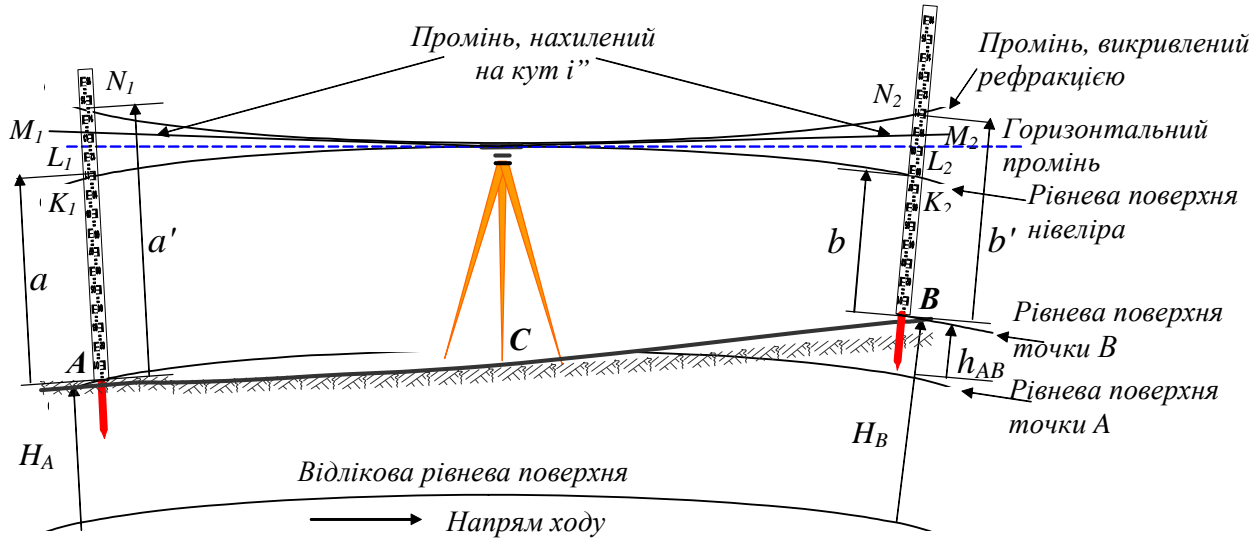


Рис. 1. Нівелювання “із середини”

На рис. 1 показано можливі точки відлічування  $L_1$  і  $L_2$  за умови відсутності вертикальної рефракції і горизонтальності променя візуування та точки  $M_1$  і  $M_2$  відповідно за умови додатного кута нахилу (вверх) променя візуування та відсутності рефракції.

За умови рівності плечей рівняння (1) перепишемо у вигляді

$$h_{AB} = a'_A - b'_B + (i_A'' - i_B'') \frac{S}{\rho''} - \frac{(k_A - k_B)S^2}{2R_3}, \quad (2)$$

де  $\rho'' = 206264,8$ .

Наведемо дані [6] розрахунку випадкових  $\eta_h$  та систематичних  $\sigma_h$  похибок визначення перевищень точним геометричним нівелюванням (табл. 1).

Таблиця 1

Границні похибки  $\eta_h$  та  $\sigma_h$  перевищень та допустимі нев'язки точного й прецизійного нівелювання [6]

№	Вид і клас нівелювання	Границна похибка перевищень		Допустима нев'язка $f_h$ , мм
		$\eta_h$ , мм	$\sigma_h$ , мм	
1	Прецизійне нівелювання коротким променем ( $S_{max} = 25$ м)	0,063	0,006	$0,09\sqrt{n}$
2	Прецизійне нівелювання ( $S_{max} = 50$ м)	0,107	0,008	$0,15\sqrt{n}$
3	Нівелювання I класу коротким променем ( $S_{max} = 25$ м)	0,092	0,006	$0,13\sqrt{n}$
4	Нівелювання I класу ( $S_{max} = 50$ м)	0,237	0,008	$0,3\sqrt{n}$
5	Точне нівелювання II класу ( $S_{max} = 75$ м)	0,631	0,016	$0,9\sqrt{n}$

Аналізуючи (2), зазначимо, що досягнення точності відлічування 0,01 мм сучасними нівелірами не вирішує проблем високоточного нівелювання, оскільки нестабільність встановлення

променя нівелювання в горизонтальне положення під час нівелювання впливатиме згідно із залежністю  $(i''_A - i''_B) \frac{S}{\rho''}$ . Враховуючи, що сучасні нівеліри мають технічні характеристики точності

встановлення візорного променя в горизонтальне положення  $0,5'' - 0,2''$ , і якщо допустити, що  $(i''_A - i''_B)$  дорівнюватиме точності встановлення променя в горизонтальне положення, то для довжини плеча нівелювання – 75 м становить 0,26–0,1 мм. Різниця коефіцієнтів вертикальної рефракції за напрямом на 1 спричинить похибку 0,44 мм.

**Невирішенні частини загальної проблеми.** Недоліком способу нівелювання із “середини” є неконтрольованість стабільності встановлення візорного променя в горизонтальне положення. Зміна його положення за час між спостереженнями на задню і передню рейки безпосередньо входить у похибку визначення перевищення. Багато часу у процесі нівелювання I і II класів витрачається на встановлення рівності плечей (допуск 0,5 і 1 м відповідно) та їхньої довжини (допуск 50 м), особливо на похилих ділянках нівелювання, де накладається ще й обмеження висоти променя над земною поверхнею (0,8 і 0,5 м відповідно) [1].

**Постановка завдання.** Запропонувати спосіб нівелювання, який дав би змогу контролювати процес вимірювання безпосередньо на станції нівелювання, спростив би вибір плечей й дав би змогу визначати поправки за вплив зовнішніх умов на результати вимірювань, що б сприяло підвищенню точності вимірювань перевищень.

**Виклад основного матеріалу дослідження.** Розглянемо нівелювання способом “вперед” (рис. 2).

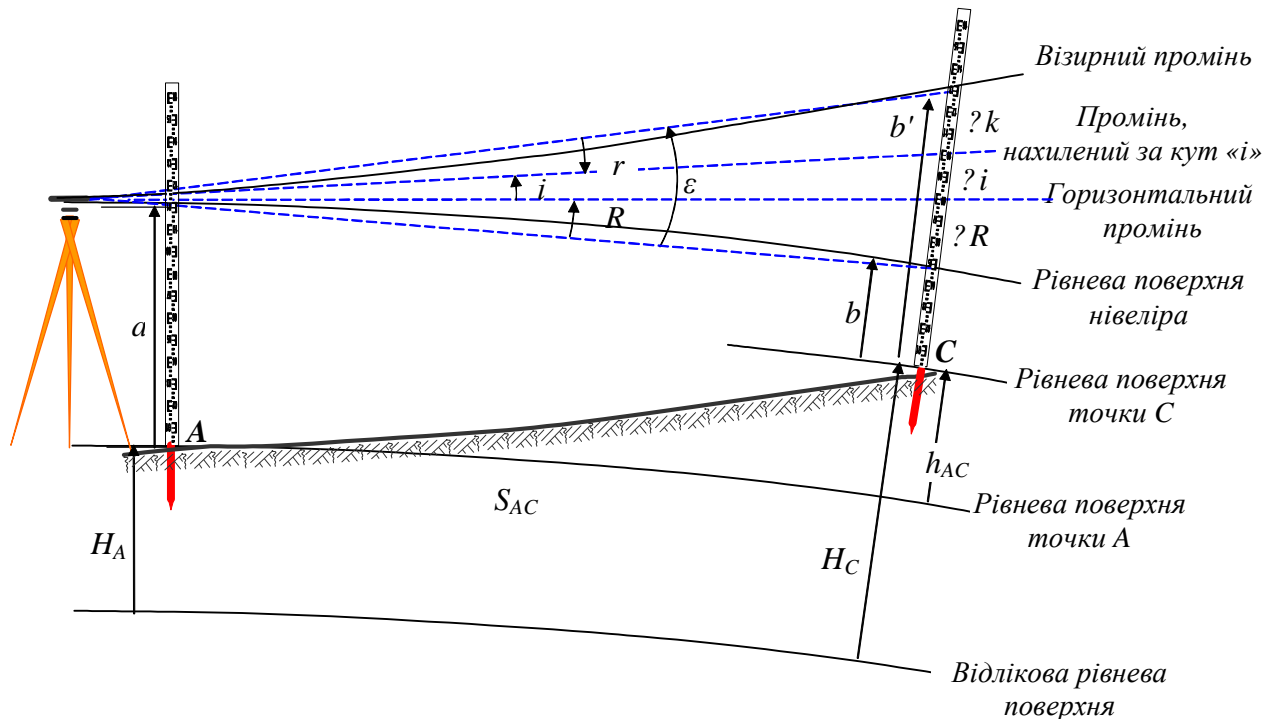


Рис. 2. Нівелювання “вперед”

Перевищення  $h_{AC}$  способом “вперед” визначають за формулою:

$$h_{AC} = H_C - H_A = a - b = a - (b' - \Delta R - \Delta i + \Delta r), \quad (3)$$

де  $a$  і  $b$  – правильні відліки за шкалами рейок за умови суміщення променя нівелювання з рівневою поверхнею нівеліра;  $b'$  – відлік шкали рейки, що встановлена в точці В, зміщений від рівневого положення нівеліра на лінійні величини поправки за кривину Землі  $\Delta R$  (кутова величина –  $R''$ ), кута негоризонтальності променя візуування  $\Delta i$  (кутова величина –  $i''$ ) та вертикальної рефракції  $\Delta r$  (кутова величина –  $r''$ ).

Пропонуємо спосіб геометричного нівелювання “вперед–назад”, який передбачає подвійні вимірювання перевищень способом “вперед” з кінців лінії нівелювання (прямо і зворотно) (рис. 3).

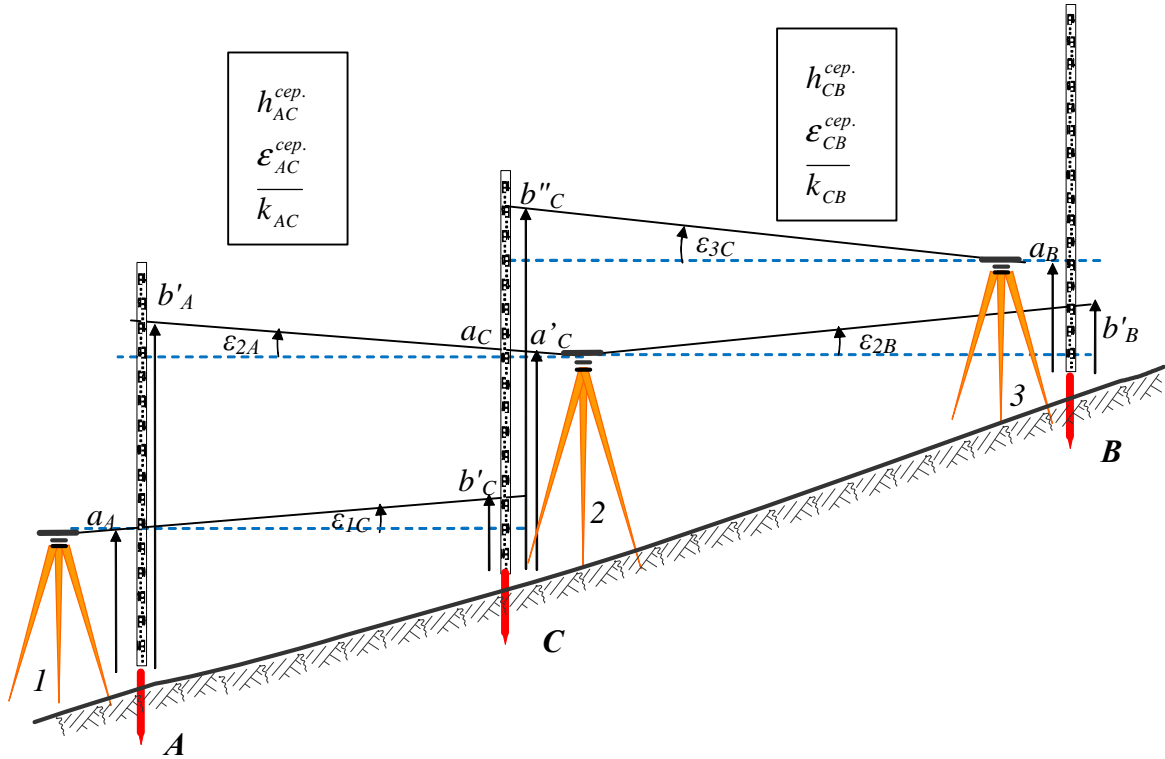


Рис. 3. Спосіб нівелювання “вперед–назад”

Запишемо систему рівнянь визначення прямого і зворотного перевищень.

$$\left. \begin{aligned} h_{AC} &= a_A - b_C + S_{1C} \operatorname{tg}(i_{1C}) + \frac{S_{1C}^2}{2R_3} - \frac{k_{1C} S_{1C}^2}{2R_3} + \Delta_{\text{перед}} \\ h_{CA} &= a_C - b_A + S_{2A} \operatorname{tg}(i_{2A}) + \frac{S_{2A}^2}{2R_3} - \frac{k_{2A} S_{2A}^2}{2R_3} + \Delta_{\text{перед}} \end{aligned} \right\}, \quad (4)$$

де  $a_A, a_C$  – відліки на біжні рейки, що встановлені у відповідних точках А і С;  $b_A, b_C$  – відліки на віддалені рейки, встановлені в цих самих точках; з умови способу  $S_{1C} = S_{2A} = S$  – горизонтальні віддалі між нівеліром і дальніми рейками;  $\Delta_{\text{перед}}$  – поправка за перефокусування істотно не впливатиме, оскільки ставиться умова рівності плечей;  $k_{AB}, k_{BA}$  – коефіцієнти вертикальної рефракції відповідно вздовж ліній  $S_{1B}$  і  $S_{2A}$ .

Визначимо середнє перевищення з вимірювань прямого і зворотного перевищень. Враховуючи те, що під час спостережень встановлюють однакові плечі  $S_{1C} = S_{2A}$ , то середнє значення перевищенння по лінії АС відповідно до (3) отримують за формулою:

$$h_{AC}^{cep.} = \frac{h_{AC} - h_{CA}}{2} = \frac{a_A - b_C - a_C + b_A}{2} + (i_{1C}'' - i_{2A}'') \frac{S}{2\rho''} - (k_{1C} - k_{2A}) \frac{S^2}{4R_3}. \quad (5)$$

Сумісний аналіз формул (2) і (5) вказує на підвищення точності компенсації вертикальної рефракції по лінії.

Диференціюємо формули (2) і (5) та перейдемо до середніх квадратичних похибок:

$$m_{h_{AB} \text{ з середини}}^2 = 2m_{\text{відл}}^2 + 2m_i^2 \left( \frac{S}{\rho''} \right)^2 + 2m_k^2 \left( \frac{S^2}{2R_3} \right)^2, \quad (6)$$

$$m_{h_{AC} \text{ вперед-назад}}^2 = m_{\text{відл}}^2 + 2m_i^2 \left( \frac{S}{2\rho''} \right)^2 + 2m_k^2 \left( \frac{S^2}{4R_3} \right)^2. \quad (7)$$

Враховуючи, що нівелювання по лінії АВ “із середини” складається з двох плечей АС і СВ двостороннього нівелювання “вперед–назад”, то (7) запишеться:

$$m_{h_{AB} \text{ вперед-назад}}^2 = 2m_{\text{відл}}^2 + m_i^2 \left( \frac{S}{\rho''} \right)^2 + m_k^2 \left( \frac{S^2}{2R_3} \right)^2. \quad (8)$$

Аналізуючи точності визначення перевищення способом “із середини” (6) та способом “вперед–назад” (8), зауважимо, що похиби, зумовлені точністю відлічування, однакові для секції нівелювання, а похиби встановлення променя нівелювання в горизонтальне положення і за вертикальну рефракцію, що увійдуть у середнє перевищення в  $\sqrt{2}$  раз менші.

Таке підвищення точності, правда, потребуємо від спостерігача подвоєння кількості станцій нівелювання, але запропонована нами методика спостереження на станції нівелювання дає змогу скоротити час на вибори рівності плечей нівелювання і висоти променя (мінімального відліку за шкалою рейки).

Додавши два рівняння системи (4), отримаємо:

$$h_{AC} + h_{CA} = a_A - b_C + a_C - b_A + (i_{1C}'' + i_{2A}'') \frac{S}{\rho''} + \frac{S^2}{R_3} - (k_{1C} + k_{2A}) \frac{S^2}{2R_3} = 0. \quad (9)$$

Визначимо сумарний середній кут  $\bar{\varepsilon}''$ , беручи до уваги середньоінтегральне значення кута рефракції  $\bar{r}''$ , середній кут негоризонтальності променя візуування  $\bar{i}''$  та вплив кривини Землі  $R''$  на момент і віддаль спостереження:

$$\bar{\varepsilon}'' = \bar{i}'' + R'' - \bar{r}'' = -\frac{1}{2} (h_{\text{прямо}}^{\text{вим}} + h_{\text{зворот}}^{\text{вим}}) \frac{\rho''}{S} = -\frac{1}{2} (a_A - b_C + a_C - b_A) \frac{\rho''}{S} = \bar{i}'' + (1 - \bar{k}) \frac{S\rho''}{2R_3}, \quad (10)$$

де  $h_{\text{прямо}}^{\text{вим}}$  і  $h_{\text{зворот}}^{\text{вим}}$  – виміряні перевищення по лінії в прямому і зворотному напрямах;  $\bar{k}$  – середньоінтегральне значення коефіцієнта вертикальної рефракції.

Значення середнього кута вертикальної рефракції  $\bar{r}''$  можна одержати за умови визначення кута негоризонтальності променя візуування  $\bar{i}''$  (у лабораторних умовах):

$$\bar{r}'' = -\bar{\varepsilon}'' + \bar{i}'' + R'' = \frac{1}{2} (h_{\text{прямо}}^{\text{вим}} + h_{\text{зворот}}^{\text{вим}}) \frac{\rho''}{S} + \bar{i}'' + \frac{\rho'' S}{2R_3}, \quad (11)$$

і середньоінтегрального значення коефіцієнта вертикальної рефракції  $\bar{k}$  відповідно:

$$\bar{k} = \bar{i}'' \frac{2}{\rho''} \frac{R_3}{S} + (a_A - b_C + a_B - b_A) \frac{R_3}{S^2} + 1 = (\bar{i}'' - \bar{\varepsilon}'') \frac{2}{\rho''} \frac{R_3}{S} + 1. \quad (12)$$

Середнє значення кута негоризонтальності променя візуування нівеліра  $\bar{i}''$  можна визначити в лабораторних умовах, знаючи вертикальну рефракцію, або в періоди спокійних зображень, коли  $\bar{k} \approx 0,14 - 0,16$ :

$$\bar{i}'' = \bar{\varepsilon}'' - R'' + \bar{r}'' = -\frac{1}{2}(a_A - b_C + a_B - b_A) \frac{\rho''}{S} + (\bar{k} - 1) \frac{S\rho''}{2R_3}. \quad (13)$$

Стабільність положення візорного променя в процесі нівелювання можна контролювати за сумарним кутом негоризонтальності променя візуування нівеліра і кутом рефракції:

$$\sum(\bar{r}'' - \bar{i}'') = R'' - \bar{\varepsilon}'' = \frac{S\rho''}{2R_3} + \frac{1}{2}(a_A - b_C + a_B - b_A) \frac{\rho''}{S}. \quad (14)$$

У 2009 р. ми здійснили експериментальні дослідження способу нівелювання “вперед–назад” на території експериментального полігона ЛНАУ з використанням електронного нівеліра DiNi22 та комплекту кодових складуваних рейок.

Способом “вперед–назад” виконували нівелювання з трьох станцій. Віддалі між станціями 1–2 і 2–3 становили по 50 м.

Точне перевищення по лініях А-С і С-В, визначене з нівелювання короткими плечами (6 м), становило відповідно -0,71767 м і -0,75930 м.

Перевищення вимірювали за різних погодних умов: сонечно, перемінно і похмуро. Найнижча точка візуування на рейку була 0,7 м, а найвища – 2,3 м. Застосовуючи методику [4; 5] спостережень способом “вперед–назад”, визначали середні перевищення (5) між точками С і А та С і В. Перевищення між точками В і А знаходили як суму із середніх перевищень. Загалом виконано 26 вимірювань перевищень по лінії А-В, що відповідає 2,6 км нівелірного ходу.

Станцію 2 використовували як основну для спостереження методом “із середини” для визначення перевищень між точками В і А, зі сторонами плечей 50 м. Не змінюючи висоти нівеліра, додатково відлічували рейку на короткому плечі – 3 м, встановлену на точці В. Це дало змогу використовувати результати вимірювань на станції 2 і для способу “вперед–назад”. Так ми намагались якнайбільше синхронізувати періоди спостережень двома способами.

Порівнюючи перевищення (табл. 2, 3), визначені способом “із середини” і способом “вперед–назад”, за весь період експериментальних спостережень, зазначимо, що отримані результати практично однакові: середня абсолютна похибка у визначені перевищенні – 0,39 мм, а середнє квадратичне відхилення – 0,29 мм, систематичні накопичення для ходу (2,6 км) становили 10 мм. Це вказує на накопичення похилок систематичного характеру: похилок складуваних рейок, температурного впливу асфальту на костили, рефракції та інших чинників.

Виконуючи нівелювання способом “вперед–назад”, контролювали положення променя візуування нівеліра обчисленням значення сумарного кута негоризонтальності  $\bar{\varepsilon}''$  (10). Його середнє значення за весь період спостережень  $\bar{\varepsilon}'' = -1,76''$ , а середнє квадратичне відхилення від середнього значення – 0,73”.

У 2010 р. на експериментальному полігоні Львівського національного аграрного університету виконані порівняльні дослідження способів геометричного нівелювання “із середини” і “вперед–назад”. Прокладено три нівелірні ходи, що утворили зімкнутий полігон. Оскільки використовували електронний нівелір DiNi 22 і комплект кодових складуваних рейок, то застосовували методику і допуски інструкції [1] для нівелювання III класу. Результати нівелювання наведено в табл. 2 і 3.

Таблиця 2  
Результати нівелювання експериментального полігона ЛНАУ способом “із середини”

Хід	Довжина ходу $L, \text{м}$	К-ть станцій, $n$	Сума перевищень по ходу прямо, $\Sigma h_{\text{прям}} \text{м}$	Сума перевищень по ходу зворотно, $\Sigma h_{\text{зворот}} \text{м}$	Різниця перевищень прямо і зворотно, $\Delta h \text{ м}$	Середнє перевищення по ходу, $\Sigma h_{\text{сер}} \text{м}$

PG29-PG25	162,04	5	8,55330	-8,55257	0,00073	8,55293
PG25-PG54	241,79	7	-12,28780	12,28763	-0,00017	-12,28772
PG54-PG29	236,64	4	3,73573	-3,73553	0,00020	3,73563
$\Sigma$	640,47	16	0,00123	-0,00047	0,00077	0,00085
					$m = 0,00045$	

Таблиця 3

## Результати нівелювання експериментального полігона ЛНАУ способом “вперед–назад”

Хід	Довжина ходу $L$ , м	К-ть станцій, $n$	Сума перевищень по ходу прямо, $\Sigma h_{\text{прямо M}}$	Сума перевищень по ходу зворотно, $\Sigma h_{\text{зворотно M}}$	Різниця перевищень прямо і зворотно, $\Delta h$ м	Середнє перевищення по ходу, $\Sigma h_{\text{ср M}}$
PG29-PG25	162,25	9	8,55255	-8,55245	0,00010	8,55250
PG25-PG54	244,22	12	-12,28823	12,28852	0,00028	-12,28838
PG54-PG29	238,39	8	3,73555	-3,73542	0,00013	3,73548
$\Sigma$	644,86	29	-0,00013	0,00065	0,00052	-0,00039
					$m = 0,00010$	

Таблиця 4

## Журнал електронного нівелювання способом “вперед–назад” від PG 25 до PG 29

14.09.2010

№ ст.	№ зв'язк. точок	Відліки						Перевищення			Плечі	Накопичення плеч	$\bar{\varepsilon}''$	$r'' - i''$				
		задні		середні		передні		вим.	різниці	ср.								
		$a$	$Sa$	$b$	$Sb$	$c$	$Sc$											
1	PG25 11			1,3784	2,73	2,2723	33,40	-0,8939	-0,0005	-0,8937	0,06	0,06	1,55	-1,01				
2	PG25 11 12	0,6044	33,34	1,4978	2,81	2,6122	20,66	-0,8934	-0,0002	-1,1143	0,16	0,22	1,00	-0,67				
3	11 12 13	0,3214	20,50	1,4356	2,82	2,5365	17,85	-1,1142	-0,0001	-1,1009	0,12	0,34	0,58	-0,29				
4	12 13 14	0,3360	17,73	1,4368	2,93	2,6014	19,18	-1,1008	-0,0002	-1,1645	0,17	0,51	1,08	-0,77				
5	13 14 15	0,3219	19,01	1,4863	2,64	2,6489	18,96	-1,1644	-0,0002	-1,1625	0,05	0,56	1,09	-0,78				
6	14 15 16	0,3401	18,91	1,5025	2,85	2,6221	19,20	-1,1624	-0,0001	-1,1196	-0,08	0,48	0,54	-0,23				
7	15 16 17	0,3273	19,28	1,4468	2,73	2,2521	12,37	-1,1195	0,0001	-0,8054	-0,09	0,39	-0,83	1,03				
8	16 17 PG 29	0,6887	12,46	1,4941	3,00	2,6859	20,18	-0,8054	-0,0001	-1,1918	-0,01	0,38	0,51	-0,18				
9	17 PG 29	0,3598	20,19	1,5515	2,41			-1,1917										
$\Sigma$		161,4		161,8		-17,105	-0,0013	-8,55245	0,38	Cep =	0,69	-0,36						
										$m =$	0,71	0,64						

Виконання нівелювання електронним нівеліром вносить корективи в методику спостережень на станції. Нівелювання способом “із середини” виконували без зміни висоти приладу, але з визначенням довжини плечей та їх накопичення. Приклад електронного нівелювання способом “вперед–назад” показано в табл. 4.

Нівелювання способом “вперед–назад” виконували за такою методикою:

1. Встановлюють нівелір у точці 1 перпендикулярно до лінії нівелювання на віддалі приблизно 3 м (довжина нівелірної рейки). Приводять нівелір у робочий стан.

2. Вибирають зв'язкову точку нівелювання В, використовуючи шашкову шкалу рейки і дотримуючись вимог інструкції (мінімальний відлік рейки 300 мм, максимальний – 2700 і максимальна довжина плеча 75 м). Забивають костиль і встановлюють рейку штрихкодовою шкалою до нівеліра.

3. Відлічують ближню рейку, що встановлена в точці А (відліки  $a_A$  та віддаль від нівеліра до ближньої рейки –  $S_{1A}$ ).

4. Відлічують передню рейку, що встановлена в точці В (відліки  $b_B$  та віддаль від нівеліра до передньої рейки –  $S_{1B}$ ).

5. Переходять з нівеліром у точку 2 і встановлюють його навпроти рейки в точці В перпендикулярно до лінії нівелювання на віддалі приблизно 3 м (розмір нівелірної рейки). Приводять нівелір у робочий стан.

6. Вибирають зв'язкову точку нівелювання С, використовуючи шашкову шкалу рейки і дотримуючись вимог інструкції (мінімальний відлік рейки 300 мм, максимальний – 2700 і максимальна довжина плеча 75 м). Забивають костиль.

7. Відлічують задню рейку, що встановлена в точці А (відліки  $b_A$  та віддаль від нівеліра до ближньої рейки –  $S_{2A}$ ).

8. Рейкар з точки А переходить і встановлює рейку в точці С.

9. Відлічують ближню рейку, що встановлена в точці В (відліки  $a_B$  та віддаль від нівеліра до ближньої рейки –  $S_{2B}$ ).

10. Відлічують передню рейку, що встановлена в точці С (відліки  $b_C$  та віддаль від нівеліра до передньої рейки –  $S_{2C}$ ).

11. Результати заносять в журнал або польовий комп'ютер. Форма журналу наведена в табл. 4.

12. Виконують контроль нівелювання лінії АВ за накопиченням плечей, різницею перевищень і розміром сумарного кута негоризонтальності променя візуування  $\bar{\varepsilon}''$ . Відтак переходять до наступної станції і виконують дії, починаючи з п.5.

**Висновки.** Спосіб геометричного нівелювання “вперед–назад”: 1) відповідає за точністю способу нівелювання “із середини”; 2) дає змогу контролювати нестабільність горизонтального положення візорного променя в процесі нівелювання; 3) мінімізує вплив нестабільності положення візорного променя та вертикальної рефракції по лінії нівелювання.

1. Инструкция по нивелированию I, II, III, IV классов. – М. : Недра, 1990. . – 175 с. 2. Павлив П.В. Проблемы высокоточного нивелирования / П.В. Павлив. – Львов : Вища школа, Изд-во при Львов. ун-те, 1980. – 124 с. 3. Учет атмосферных влияний на астрономо-геодезические измерения / [Островский А.Л., Джуман Б.М., Заблоцкий Ф.Д., Кравцов Н.И.]. – М. : Недра, 1990. – 235 с. 4. Патент. Україна, UA 41429 U? МКП(2009), G01C 5/00. Спосіб геометричного нівелювання “Вперед, назад” / Перій С.С. ; заявник і патентоутримувач Львів. нац. аграр. унів. – № 41429 ; зареєстр. в Держ. реєстрі патентів України на корисні моделі 25.05.2009 ; 6 с. 5. Ващенко В.І. Спосіб геометричного нівелювання з врахуванням вертикальної рефракції та негоризонтальності візорного променя / В.І. Ващенко, С.С. Перій, В. О. Літинський // Сучасні досягнення геодезичної науки і виробництва : Зб. наук. пр. – Л., 2009. – Вип. 1 (17). – С. 116–121. 6. Островський А.Л. Розрахунок очікуваної точності геометричного нівелювання та проектування програми робіт на геодинамічних полігонах / А.Л. Островський, П.Г. Черняга // Геодезія, картографія і аерознімання : міжвідомчий наук.-техн. збірник / Вид. Нац. ун-ту “Львівська політехніка” – Л., 2001. – Вип. 61. – С. 101–107.